

УДК 531.8

© 1990 г.

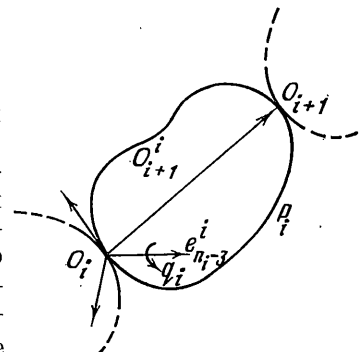
А. Т. ЗАРЕМБА

## УРАВНЕНИЯ ДИНАМИКИ МНОГОЗВЕННОГО МАНИПУЛЯТОРА С ГОЛОНОМНЫМИ СВЯЗЯМИ

Получены новые выражения для производных произвольного порядка коэффициентов кинематических соотношений многозвенной цепи через матрицы-функции самих коэффициентов. На их основе рассматриваются алгоритмы формирования уравнений динамики манипулятора и их линеаризации, которые имеют рекуррентный вид и легко формализуются. Исследуется случай наложения на систему голономных связей общего вида; синтезируется управление, обеспечивающее стабилизацию программного движения, описываемого заданной вектор-функцией обобщенных координат.

**1. Основные кинематические соотношения.** Задача формирования уравнений движения сложных многозвенных механических систем [1–9] актуальна при динамическом анализе, оптимизации структуры и синтезе законов управления. В [1] уравнения динамики конструируются с использованием матриц ( $4 \times 4$ ) преобразования однородных координат. Более эффективные вычислительные алгоритмы на основе уравнений Ньютона – Эйлера рассматриваются в [2]. Вычисление коэффициентов уравнений движения при помощи рекуррентного построения матриц инерции замороженной цепи производится в [2–3]. В [4] получены уравнения Лагранжа второго рода для многозвенных манипуляторов с использованием кинематических винтов [5]. В [6–7] на основе последовательно выполняемых декомпозиций и агрегатирования конструируются модели механики многозвенных технических систем со структурой дерева. В [8] рассматриваются механические системы, содержащие упругие элементы большой жесткости, и методами малого параметра производится асимптотический анализ уравнений Лагранжа. Динамические свойства многозвенного манипулятора с существенно упругими звеньями исследуются в [9].

В работе рассматривается механическая система, представляющая собой открытую кинематическую цепь  $P_0, P_1, \dots, P_n$  (фигура), отдельные звенья которой соединены между собой вращательными или поступательными кинематическими парами пятого класса. Относительное положение сопрягаемых звеньев определяется обобщенной координатой пары  $q_i$  ( $i=1, n$ ), равной величине поворота или поступательного перемещения вдоль оси пары. Сочленение отдельных звеньев только парами пятого класса не сужает класс исследуемых механизмов, поскольку пары произвольного класса можно получить совмещением в одной точке нескольких кинематических пар пятого класса [5]. Предполагается, что основание механизма – звено  $P_0$  является неподвижным. С последним звеном цепи  $P_n$  жестко связан рабочий орган или объектами внешней среды. Все звенья цепи представляют собой абсолютно твердые тела с известными значениями массо-инерционных параметров, причем массо-инерционные параметры рабочего органа учитываются совместно с массо-инерционными параметрами звена  $P_n$ .



Свяжем с  $i$ -м звеном кинематической цепи систему координат  $E_i = (O_{i_p}, [\mathbf{e}^i])$ , где  $O_i$  — начало системы координат,  $[\mathbf{e}^i] = (\mathbf{e}_1^i, \mathbf{e}_2^i, \mathbf{e}_3^i)$  — ортонормированный базис, причем одна из осей базиса совпадает с осью кинематической пары  $L_i$ , а точка  $O_i$  с ее центром ( $i=1, n$ ). Номер оси системы координат, совпадающей с осью кинематической пары, определяется целочисленным параметром  $n_i \in \overline{1, 6}$ , причем для поступательной кинематической пары выполнено  $n_i \in \overline{1, 3}$ , а для вращательной  $n_i \in \overline{4, 6}$ .

Относительное положение двух соседних систем координат  $E_{i-1}$  и  $E_i$  задается шестью параметрами [6]: вектором  $O_i^{i-1,u}$  линейного сдвига точки  $O_i$  относительно  $O_{i-1}$ , который для поступательной пары определен в системе координат  $E_i$  ( $u=i$ ), а для вращательной пары в  $E_{i-1}$  ( $u=i-1$ ), и тремя углами  $\theta_j^i$  ( $j=\overline{1, 3}$ ), которые устанавливают матрицу ориентации ортов базиса  $[\mathbf{e}^i]$  в  $[\mathbf{e}^{i-1}]$  через произведение трех матриц простейших поворотов

$$C_i^{i-1} = C_1(\theta_1^i) C_2(\theta_2^i) C_3(\theta_3^i)$$

$$C_k(\alpha) = E + (1 - \cos \alpha) \langle \mathbf{e}_k \rangle \langle \mathbf{e}_k \rangle + \sin \alpha \alpha \langle \mathbf{e}_k \rangle \quad (k \in \overline{1, 3}) \quad (1.1)$$

где  $C_k(\alpha)$  — матрица поворота вокруг орта  $\mathbf{e}_k$  на угол  $\alpha$ ,  $\langle \mathbf{e}_k \rangle$  — кососимметрическая матрица, порождаемая вектором  $\mathbf{e}_k$ ,  $k$  — номер оси, вокруг которой выполняется поворот на угол  $\alpha$ .

Из шести скалярных параметров  $O_{ij}^{i-1,u}, \theta_j^i$  ( $j=\overline{1, 3}$ ) один является обобщенной координатой пары  $L_i$ , а остальные — постоянные линейные или угловые конструктивные параметры звена  $P_{i-1}$ .

Следовательно, для поступательной кинематической пары система координат  $E_{i-1}$  приводится к  $E_i$  при помощи трех поворотов на углы  $\theta_j^i$  ( $j=\overline{1, 3}$ ) и последующего переноса на вектор  $O_i^{i-1,i}$ , причем переменная величина переноса в направлении орта  $\mathbf{e}_{n_i}^i$  является обобщенной координатой кинематической пары  $L_i$ .

При  $n_i \in \overline{4, 6}$  точка  $O_{i-1}$  смещается на постоянный вектор  $O_i^{i-1,i-1}$  и далее выполняются три поворота, причем переменная величина поворота  $q_i = \Theta_{(n_i-3)}$  вокруг орта  $\mathbf{e}_{(n_i-3)}$  является обобщенной координатой кинематической пары  $L_i$ . Предполагается, что поворот вокруг оси  $\mathbf{e}_{(n_i-3)}^i$  на переменный угол  $q_i$  выполняется последним из всех ненулевых поворотов при переходе из  $E_{i-1}$  в  $E_i$ .

В дальнейшем используются выражения для вектора квазискоростей  $\mathbf{V}_k^{jk} = \|\mathbf{v}_k^{jk}, \boldsymbol{\omega}_k^{jk}\|$  и его локальной производной  $\dot{\mathbf{V}}_k^{jk*}$  через обобщенные координаты, скорости и ускорения системы [6, 7]:

$$\mathbf{V}_k^{jk} = \sum_{i=j+1}^k L_h^{iT} \mathbf{f}^i q_i \quad (k > j), \quad \dot{\mathbf{V}}_k^{jk*} = \sum_{i=j+1}^k (L_h^{iT} \mathbf{f}^i q_i'' + \Phi_h^{ik} L_h^{iT} \mathbf{f}^i q_i') \quad (1.2)$$

где  $\mathbf{V}_k^{jk}$  — вектор квазискоростей,  $\mathbf{v}_k^{jk}$ ,  $\boldsymbol{\omega}_k^{jk}$  — линейная и угловая скорость звена  $P_h$  относительно  $E_j$  в осях  $E_h$ ;  $\mathbf{f}^i$  — единичный вектор ( $6 \times 1$ ) с единицей на месте с номером  $n_i$ . В (1.2) матрица ( $6 \times 6$ )  $L_h^{iT}$  преобразования координат скользящего вектора при переходе из  $E_i$  в  $E_h$  и блочная матрица  $\Phi_h^{ik}$  ( $6 \times 6$ ), порожденная вектором  $\mathbf{V}_k^{ik}$ , определяются равенствами [6]:

$$L_h^{iT} = \begin{vmatrix} C_k^i & 0 \\ \langle \mathbf{O}_k^{i-1} \rangle^i C_k^i & C_k^i \end{vmatrix}, \quad \Phi_h^{ik} = \begin{vmatrix} \langle \boldsymbol{\omega}_k^i \rangle^k & 0 \\ \langle \dot{\mathbf{v}}_k^i \rangle^k & \langle \boldsymbol{\omega}_k^i \rangle^k \end{vmatrix}$$

где  $C_h^i$  — матрица ортов  $[\mathbf{e}^h]$  в  $[\mathbf{e}^i]$  определяется произведением матриц вида (1.1)  $C_h^i = C_{i+1}^i C_{i+2}^i \dots C_h^{k-1}$ .

Простая форма записи кинематических соотношений (1.2) обусловлена оговоренным ранее порядком выполнения сдвигов и поворотов при переходе из  $E_{i-1}$  в  $E_i$ , при котором вектор квазискоростей  $\mathbf{V}_i^{i-1,i}$  двух соседних звеньев цепи равен  $\mathbf{V}_i^{i-1,i} = \mathbf{f}^i q_i$ . При синтезе алгоритмов управления роботом необходимы также соотношения вида (1.2) для случая обратного хода по кинематической цепи. При  $k < j$  учитывая, что вектор квазискоростей  $\mathbf{V}_{i-1}^{i-1,i}$  не имеет такого простого представления как вектор  $\mathbf{V}_i^{i-1,i}$ , вводится оператор  $G$  перестановки компонент шестимерного вектора, определенный блочной матрицей  $(6 \times 6)$  ( $E$  – единичная матрица  $(3 \times 3)$ ):

$$G = \begin{vmatrix} 0 & E \\ E & 0 \end{vmatrix}$$

Для операции перестановки компонент шестимерного вектора выполняются следующие основные правила:

$$\begin{aligned} G(\mathbf{a} + \mathbf{b}) &= G\mathbf{a} + G\mathbf{b}, \quad G^2\mathbf{a} = \mathbf{a}, \quad G(k\mathbf{a}) = kG\mathbf{a} \\ GL_h^{iT}\mathbf{a} &= L_h^k G\mathbf{a}, \quad G\Phi_k^{ikT}\mathbf{a} = -\Phi_k^{ik} G\mathbf{a} \end{aligned}$$

Теперь с учетом равенств

$$\mathbf{V}_i^{hi} = -L_i^{ht} \mathbf{V}_h^{ih}, \quad \mathbf{V}_i^{hi*} = -L_i^{ht} \mathbf{V}_h^{ih*} - \Phi_i^{kit} L_i^{kt} \mathbf{V}_h^{ih} \quad (1.3)$$

соотношения (1.2) преобразуются в выражения для кинематических винтов

$$\begin{aligned} G\mathbf{V}_h^{jh} &= - \sum_{i=k+1}^j L_i^k G\mathbf{f}^i q_i \quad (k < j) \\ G\mathbf{V}_h^{jk*} &= - \sum_{i=k+1}^j L_i^k (G\mathbf{f}^i q_i + \Phi_i^{hi} G\mathbf{f}^i q_i) \end{aligned} \quad (1.4)$$

Введем в рассмотрение векторы  $\mathbf{l}_h^i$  и  $\mathbf{g}_h^i$ , которые равны единичному орту  $\mathbf{f}^i$ , приведенному к осям связанный со звеном  $P_h$  системы координат

$$\begin{aligned} \mathbf{l}_h^i &= L_h^{it} \mathbf{f}^i \quad (i \leq k), \quad \mathbf{l}_h^i = 0 \quad (i > k) \\ \mathbf{g}_h^i &= 0 \quad (i < k), \quad \mathbf{g}_h^i = L_h^{it} \mathbf{f}^i = G(L_i^k G\mathbf{f}^i) \quad (i \geq k) \end{aligned} \quad (1.5)$$

Обозначим символом  $\langle \mathbf{f}^t \rangle$  матрицу размерности  $(6 \times 6)$

$$\langle \mathbf{f}^t \rangle = \begin{vmatrix} \langle \mathbf{f}_2^t \rangle & 0 \\ \langle \mathbf{f}_1^t \rangle & \langle \mathbf{f}_2^t \rangle \end{vmatrix} \quad (1.6)$$

где  $\mathbf{f}_1^t$ ,  $\mathbf{f}_2^t$  векторы  $(3 \times 1)$ , состоящие из первых и последних трех компонент шестимерного вектора  $\mathbf{f}^t$  соответственно;  $\langle \mathbf{f}_1^t \rangle$ ,  $\langle \mathbf{f}_2^t \rangle$  – кососимметрические матрицы  $(3 \times 3)$ .

Для матриц (1.6) справедливы следующие соотношения

$$\begin{aligned} \langle \mathbf{f}^t \rangle \mathbf{f}^t &= -\langle \mathbf{f}^t \rangle^T \mathbf{f}^t, \quad \langle \mathbf{f}^t \rangle \langle \mathbf{f}^t \rangle - \langle \mathbf{f}^t \rangle \langle \mathbf{f}^t \rangle = -\langle \langle \mathbf{f}^t \rangle^T \mathbf{f}^t \rangle \\ \langle L_h^{it} \mathbf{f}^t \rangle &= L_h^k \langle \mathbf{f}^t \rangle L_h^t, \quad \langle k \mathbf{f}^t \rangle = k \langle \mathbf{f}^t \rangle \end{aligned} \quad (1.7)$$

Равенства (1.7) доказываются поблочным перемножением с использованием свойств кососимметрических матриц  $(3 \times 3)$  [10].

В силу первых уравнений (1.2), (1.7) матрица  $\Phi_h^{ih}$  представляется суммой матриц (1.6)

$$\Phi_h^{ih} = \sum_{s=i+1}^h \langle \mathbf{l}_h^s \rangle q_s \quad (k > i), \quad \Phi_h^{ih} = - \sum_{s=k+1}^i \langle \mathbf{g}_h^s \rangle q_s \quad (k < i) \quad (1.8)$$

и кинематические соотношения (1.2), (1.7) преобразуются к виду

$$\begin{aligned} \mathbf{V}_k^{jk} &= \sum_{i=j+1}^h \mathbf{l}_k^i q_i \cdot \quad (k>j), \quad \mathbf{V}_k^{jk*} = \sum_{i=j+1}^h \sum_{1=i+1}^h (\mathbf{l}_k^i q_i \cdot + \langle \mathbf{l}_k^s \rangle^T \mathbf{l}_k^i q_i \cdot q_s \cdot) \\ \mathbf{V}_k^{jk} &= - \sum_{i=h+1}^j \mathbf{g}_k^i q_i \cdot \quad (k<j), \quad \mathbf{V}_k^{jk*} = \sum_{i=h+1}^j \sum_{s=h+1}^i (\mathbf{g}_k^i q_i \cdot - \langle \mathbf{g}_k^s \rangle^T \mathbf{g}_k^i q_i \cdot q_k \cdot) \end{aligned} \quad (1.9)$$

Отметим, что вектор  $\mathbf{l}_k^i$  равен (1.5), (1.9) частной производной вектора  $\mathbf{V}_k^{jk}(\mathbf{V}_k^{jk*})$  по обобщенной скорости  $q_i \cdot$  (ускорении  $q_i \cdot \cdot$ ) кинематической пары  $L_i$ :

$$\mathbf{l}_k^i = \partial \mathbf{V}_k^{jk} / \partial q_i \cdot = \partial \mathbf{V}_k^{jk*} / \partial q_i \cdot \cdot \quad (1.40)$$

а вектор  $\mathbf{g}_k^i$  определяется одним из соотношений

$$\mathbf{g}_k^i = -\partial \mathbf{V}_k^{jk} / \partial q_i \cdot = -\partial \mathbf{V}_k^{jk*} / \partial q_i \cdot \cdot \quad (1.41)$$

Для нахождения частной производной  $(\mathbf{l}_k^i)^t$  вектора  $\mathbf{l}_k^i$  по обобщенной координате  $q_t$  дифференцируется соотношение (1.5)

$$(\mathbf{l}_k^i)^t = L_k^{it} \frac{\partial}{\partial q_t} (L_t^{t-1T}) L_{t-1}^{it} \mathbf{f}^i \quad (t \in \overline{i+1, k}) \quad (1.42)$$

Здесь производная матрицы  $L_t^{t-1}$  определяется выражением

$$\partial L_t^{t-1} / \partial q_t = L_t^{t-1} \langle \mathbf{f}^t \rangle \quad (1.43)$$

которое при умножении на  $q_t \cdot$  совпадает с равенством, полученным в [6] для  $L_t^{t-1}$ . С учетом (1.43) выражение (1.42) преобразуется к виду

$$\begin{aligned} (\mathbf{l}_k^i)^t &= L_k^{it} \langle \mathbf{f}^t \rangle^T L_t^{kt} L_k^{it} L_t^{it} \mathbf{f}^i = \\ &= \langle L_k^{it} \mathbf{f}^t \rangle^T L_k^{it} \mathbf{f}^i = \langle \mathbf{l}_k^t \rangle^T \mathbf{l}_k^i \quad (t \in \overline{i+1, k}) \end{aligned} \quad (1.44)$$

Формула (1.44) позволяет значительно упростить вычисление производных векторов  $\mathbf{l}_k^i$ , которые находятся умножением  $\mathbf{l}_k^i$  на известную (1.6) матрицу — функцию самих коэффициентов вместо выполнения дифференцирования и многократного матричного умножения [1–3].

Последовательным дифференцированием (1.44) находятся выражения для частных производных вектора  $\mathbf{l}_k^i$  произвольного порядка.

*Теорема 1.* Пусть целые числа  $t_1, t_2, \dots, t_p$  удовлетворяют неравенствам

$$i \leq t_1 \leq t_2 \leq \dots \leq t_p \leq k \quad (1.45)$$

Тогда частная производная  $(\mathbf{l}_k^i)^{t_1, \dots, t_p}$  вектора  $\mathbf{l}_k^i$  порядка  $p$  по обобщенным координатам механизма  $q_{t_1}, q_{t_2}, \dots, q_{t_p}$  определяется выражением

$$(\mathbf{l}_k^i)^{t_1, \dots, t_p} = \langle \mathbf{l}_k^{t_p} \rangle^T \dots \langle \mathbf{l}_k^{t_2} \rangle^T \langle \mathbf{l}_k^{t_1} \rangle^T \mathbf{l}_k^i \quad (1.46)$$

*Доказательство.* Справедливость равенства (1.46) устанавливается по индукции. При  $p=1$  (1.46) совпадает с (1.44). Пусть выражение (1.46) определяет производную вектора  $\mathbf{l}_k^i$  порядка  $p$ . Покажем, что (1.46) справедливо для производной вектора  $\mathbf{l}_k^i$  порядка  $p+1$ . Для этого правая часть (1.46) дифференцируется по  $q_{t_{p+1}}$ . Предположим, что  $t_{p+1}$  принадлежит первому интервалу  $i \leq t_{p+1} \leq t_1$ . Тогда в правой части (1.46) от  $q_{t_{p+1}}$  зависит только вектор  $\mathbf{l}_k^i$ . В результате находится равенство

$$\begin{aligned} \frac{\partial}{\partial q_{t_{p+1}}} (\mathbf{l}_k^i)^{t_j, \dots, t_s} &= \langle \mathbf{l}_k^{t_p} \rangle^T \dots \langle \mathbf{l}_k^{t_2} \rangle^T \langle \mathbf{l}_k^{t_1} \rangle^T \frac{\partial}{\partial q_{t_{p+1}}} \mathbf{l}_k^i = \langle \mathbf{l}_k^{t_p} \rangle^T \dots \\ &\dots \langle \mathbf{l}_k^{t_2} \rangle^T \langle \mathbf{l}_k^{t_1} \rangle^T \langle \mathbf{l}_k^{t_{p+1}} \rangle^T \mathbf{l}_k^i \end{aligned} \quad (1.47)$$

Заменой индексов ( $i \rightarrow i+1, p+1 \rightarrow 1$ ) (1.47) приводится к виду (1.46). Предположим, что получено выражение вида (1.46) для производной вектора

тора  $\mathbf{l}_k^i$  порядка  $p+1$  для случая  $t_{j-1} < t_{p+1} \leq t_j$ :

$$\frac{\partial}{\partial q_{t_{p+1}}} (\mathbf{l}_k^i)^{t_j, \dots, t_s} = \langle \mathbf{l}_k^{t_p} \rangle^T \dots \langle \mathbf{l}_k^{t_j} \rangle^T \langle \mathbf{l}_k^{t_{p+1}} \rangle^T \langle \mathbf{l}_k^{t_{j-1}} \rangle^T \dots \langle \mathbf{l}_k^{t_1} \rangle^T \mathbf{l}_k^i \quad (1.18)$$

При рассмотрении соседнего интервала  $t_j < t_{p+1} \leq t_{j+1}$  к (1.18) необходимо добавить равенство (1.16), продифференцированное по вектору  $\mathbf{l}_k^{t_j}$ . В результате выражение для производной преобразуется к виду

$$\begin{aligned} \frac{\partial}{\partial q_{t_{p+1}}} (\mathbf{l}_k^i)^{t_j, \dots, t_s} &= \langle \mathbf{l}_k^{t_p} \rangle^T \dots \langle \mathbf{l}_k^{t_{j+1}} \rangle^T \{ \langle \langle \mathbf{l}_k^{t_{p+1}} \rangle^T \mathbf{l}_k^{t_j} \rangle^T + \langle \mathbf{l}_k^{t_j} \rangle^T \langle \mathbf{l}_k^{t_{p+1}} \rangle^T \} \dots \\ &\dots \langle \mathbf{l}_k^{t_1} \rangle^T = \langle \mathbf{l}_k^{t_p} \rangle^T \dots \langle \mathbf{l}_k^{t_{j+1}} \rangle^T \langle \mathbf{l}_k^{t_{p+1}} \rangle^T \langle \mathbf{l}_k^{t_j} \rangle^T \dots \langle \mathbf{l}_k^{t_1} \rangle^T \mathbf{l}_k^i \end{aligned}$$

где при свертке выражения в фигурных скобках используется второе равенство (1.7). Последовательным рассмотрением всех интервалов  $j=2, n$  устанавливается справедливость выражения (1.16) для производной вектора  $\mathbf{l}_k^i$  порядка  $p+1$  для любого  $t_{p+1} \in \overline{i, k}$ . Теорема доказана.

Соотношение (1.16) определяет производную вектора  $\mathbf{l}_k^i$  при условии (1.15). Если  $t_j \neq i+1, k$  при любом  $j \in \overline{1, p}$ , то  $(\mathbf{l}_k^i)^{t_j, \dots, t_i} = 0$ . Для определения частных производных вектора  $\mathbf{g}_k^i$  находится производная матрицы  $L_{t-1}^t$  по  $q_t$ . Для этого  $L_{t-1}^t$  дифференцируется по времени

$$L_{t-1}^t = L_{t-1}^t \langle \nabla_{t-1}^{t, t-1} \rangle = -L_{t-1}^t \langle L_{t-1}^{it} \mathbf{f}^i q_i \rangle = -\langle \mathbf{f}^i \rangle L_{t-1}^t q_i \quad (1.19)$$

Из (1.19) следует

$$\partial L_{t-1}^t / \partial q_i = -\langle \mathbf{f}^i \rangle L_{t-1}^t \quad (1.20)$$

Значение производных вектора  $\mathbf{g}_k^i$  по обобщенным координатам механизма устанавливает следующая теорема.

**Теорема 2.** Пусть целые числа  $t_1, t_2, \dots, t_p$  удовлетворяют неравенствам

$$k \leq t_1 \leq t_2 \leq \dots \leq t_p \leq i \quad (1.21)$$

Тогда частотная производная  $(\mathbf{g}_k^i)^{t_j, \dots, t_i}$  вектора  $\mathbf{g}_k^i$  порядка  $p$  по обобщенным координатам механизма  $q_{t_1}, q_{t_2}, \dots, q_{t_p}$  определяется выражением

$$(\mathbf{g}_k^i)^{t_j, \dots, t_i} = (-1)^p \langle \mathbf{g}_k^{t_j} \rangle^T \langle \mathbf{g}_k^{t_2} \rangle^T \dots \langle \mathbf{g}_k^{t_p} \rangle^T \mathbf{g}_k^i \quad (1.22)$$

Для доказательства теоремы 2 дифференцированием второго равенства (1.5) находится производная вектора  $\mathbf{g}_k^i$  первого порядка

$$\begin{aligned} (\mathbf{g}_k^i)^t &= L_k^{t-1, T} \frac{\partial}{\partial q_t} (L_{t-1}^{it}) L_t^{it} \mathbf{f}^i = -L_k^{it} \langle \mathbf{f}^i \rangle^T L_t^{it} \mathbf{f}^i = \\ &= -\langle L_k^{it} \mathbf{f}^i \rangle^T L_t^{it} \mathbf{f}^i = -\langle \mathbf{g}_k^i \rangle^T \mathbf{g}_k^i \end{aligned} \quad (1.23)$$

Соотношение (1.22) находится пошаговым дифференцированием равенства (1.23) и определяет частную производную вектора  $\mathbf{g}_k^i$  при условии (1.21). Если  $t_j \neq k, i-1$  при любом  $j \in \overline{1, p}$ , то  $(\mathbf{g}_k^i)^{t_j, \dots, t_i} = 0$ .

**2. Уравнения динамики манипулятора.** Для получения уравнений динамики механизма записывается, учитывая кинематические соотношения (1.9) выражение для кинетической энергии системы

$$T = \frac{1}{2} \sum_{k, i, j=1}^n \mathbf{l}_k^{iT} \Theta_k^k \mathbf{l}_k^j q_i q_j, \quad \Theta_k^k = \begin{vmatrix} E m_k & \langle \mathbf{r}_c^k \rangle^{kT} m_k \\ \langle \mathbf{r}_c^k \rangle^k m_k & \Theta_k^k \end{vmatrix} \quad (2.1)$$

где  $\Theta_k^k$  — матрица  $(6 \times 6)$  инерции Мизеса [5, 6],  $m_k$  — масса звена,  $\mathbf{r}_c^k$  — радиус-вектор центра масс звена  $P_k$  в системе координат  $E_k$ ,  $\Theta_k^k$  — матрица  $(3 \times 3)$  тензора инерции звена, определенная в базисе  $[e^k]$  ( $k=1, n$ ).

Выражение для элементарной работы  $dA$  сил, действующих на ме-

ханизм, имеет вид

$$\delta A = \sum_{i=1}^n \left\{ Q_i + \sum_{k=i}^n \mathbf{I}_k^{iT} (\mathbf{F}_{gh}^k + \mathbf{F}_{eh}^k) \right\} \delta q_i \quad (2.3)$$

где  $Q_i$  — управляющее воздействие в  $i$ -шарнире,  $\mathbf{F}_{ei}^i$ ,  $\mathbf{F}_{gi}^i$  — динамические винты [5, 6] внешних возмущений и силы тяжести звена в осях системы координат

$$\mathbf{F}_{gi}^i = m_i g \begin{vmatrix} E & 0 \\ 0 & \langle \mathbf{r}_c^i \rangle^i \end{vmatrix} \cdot \begin{vmatrix} \mathbf{z}_i \\ \mathbf{z}_i \end{vmatrix} \quad (2.4)$$

где  $\mathbf{z}_i$  — единичный орт в направлении вектора силы тяжести в базисе  $\{\mathbf{e}^i\}$ . Дифференцированием (2.1) находятся следующие уравнения движения

$$A(\mathbf{q}) \dot{\mathbf{q}} + \sum_{k=\max(i,j)}^n \sum_{i,j,s=1}^n [\mathbf{q}_s^{iT} d_{sj}^{ki} \mathbf{q}_j] \eta_i = \mathbf{f}_g + \mathbf{f}_e + \mathbf{Q} \quad (2.5)$$

где  $\eta_i$  —  $n$ -мерный единичный вектор с единицей на  $i$ -м месте

$$a_{ij} = \sum_{k=\max(i,j)}^n \mathbf{I}_k^{iT} \Theta_k^k \mathbf{I}_k^j \quad (2.6)$$

$$d_{sj}^{ki} = \frac{1}{2} \{ \mathbf{I}_k^{iT} \Theta_k^k (\mathbf{I}_k^j)^s + (\mathbf{I}_k^{iT})^s \Theta_k^k \mathbf{I}_k^j + (\mathbf{I}_k^{sT})^j \Theta_k^k \mathbf{I}_k^i + \mathbf{I}_k^{sT} \Theta_k^k (\mathbf{I}_k^i)^j - (\mathbf{I}_k^{sT})^i \Theta_k^k \mathbf{I}_k^j - (\mathbf{I}_k^{sT})^j \Theta_k^k (\mathbf{I}_k^i)^i \} \quad (2.7)$$

$$f_{gi} = \sum_{k=i}^n \mathbf{I}_k^{iT} \mathbf{F}_{gh}^k, \quad f_{ei} = \sum_{k=i}^n \mathbf{I}_k^{iT} \mathbf{F}_{eh}^k \quad (2.8)$$

Для повышения экономичности алгоритма формирования коэффициентов уравнения (2.5) производится суммирование по звеньям кинематической цепи. С учетом (1.5) выражение (2.6) для элементов матрицы  $A$  преобразуется к виду

$$a_{ij} = \mathbf{f}^{iT} \Theta_i^{i*} \mathbf{l}_i^j + \mathbf{l}_j^{iT} \Theta_j^{j*} \mathbf{f}^i (1 - \delta_{ij}) \quad (2.9)$$

где  $\delta_{ij}$  — символ Кронекера,  $\Theta_i^{i*}$  — эффективная матрица инерции ( $6 \times 6$ ) участка кинематической цепи начиная со звена  $P_i$  до рабочего органа, определенная в системе координат  $E_i$  [6]:

$$\Theta_i^{i*} = \sum_{k=i}^n L_k^i \Theta_k^k L_k^{iT} \quad (2.10)$$

Для свертки по индексу  $k$  выражения (2.7) вычисляется производная матрицы  $\Theta_i^{i*}$ :

**Теорема 3.** Производная  $(\Theta_i^{i*})^s$  матрицы  $\Theta_i^{i*}$  по обобщенной координате  $q_s$  механизма определяется равенствами

$$(\Theta_i^{i*})^s = \langle \mathbf{g}_i^s \rangle \Theta_i^{i*} + \Theta_i^{i*} \langle \mathbf{g}_i^s \rangle^T \quad (s > i), \quad (\Theta_i^{i*})^s = 0 \quad (s \leq i) \quad (2.11)$$

где  $\Theta_i^{i*}$  — эффективная матрица инерции участка кинематической цепи начиная со звена  $P_s$  до рабочего органа, определенная в  $E_i$ :

$$\Theta_i^{s*} = L_s^i \Theta_s^{s*} L_s^{iT} \quad (2.12)$$

**Доказательство.** Выражение (2.11) находится дифференцированием (2.10) с учетом (1.5), (1.13):

$$\frac{\partial}{\partial q_s} \sum_{k=i}^n (L_k^i \Theta_k^k L_k^{iT}) = \sum_{k=s}^n \left( L_{s-1}^i \frac{\partial}{\partial q_s} (L_s^{s-1}) L_s^s \Theta_k^k L_k^{iT} + \right.$$

$$+L_k^i\Theta_k^hL_k^{sT}\frac{\partial}{\partial q_s}(L_s^{s-1T})L_{s-1}^{iT}\Big)=L_s^i(\langle \mathbf{f}^s \rangle \Theta_s^{s*}+\Theta_s^{s*}\langle \mathbf{f}^s \rangle^T)L_s^{iT}=\\=\langle g_i^s \rangle \Theta_i^{s*}+\Theta_i^{s*}\langle g_i^s \rangle^T$$

Теорема доказана.

Последовательным дифференцированием равенства (2.11) по координатам  $q_{t_1}, \dots, q_{t_p}$ , выполняемым в порядке убывания их номеров  $t_1 \leq t_2 \leq \dots \leq t_p \leq n$ , находятся рекуррентные соотношения, определяющие производную матрицу  $\Theta_i^{i*}$  порядка  $p$ :

$$\begin{aligned} \partial/\partial q_{t_j}(\Theta_i^{i*})^{t_p, \dots, t_{j+1}} &= \langle g_i^{t_j} \rangle (\Theta_i^{i*})^{t_p, \dots, t_{j+1}} + \\ &+ (\Theta_i^{i*})^{t_p, \dots, t_{j+1}} \langle g_i^{t_j} \rangle^T \end{aligned} \quad (2.13)$$

Равенство (2.13) следует из дифференцируемости функции  $\Theta_i^{i*}$  и теоремы 3. С учетом (2.10) – (2.13) производится суммирование выражений (2.7) по индексу  $k$ :

$$\begin{aligned} d_{sj}^i &= \frac{1}{2} \{ \mathbf{f}^{iT} \Theta_i^{i*} (\mathbf{l}_j^i)^s + \mathbf{f}^{iT} (\Theta_i^{i*})^s \mathbf{l}_j^i + (\mathbf{l}_j^{iT})^s \Theta_i^{i*} \mathbf{f}^j + \\ &+ \mathbf{l}_j^{iT} (\Theta_i^{i*})^s \mathbf{f}^j (1 - \delta_{ij}) + \mathbf{f}^{iT} \Theta_i^{i*} (\mathbf{l}_i^s)^j + \mathbf{f}^{iT} (\Theta_i^{i*})^j \mathbf{l}_i^s + \\ &+ (\mathbf{l}_s^{iT})^j \Theta_i^{i*} \mathbf{f}^s + \mathbf{l}_s^{iT} (\Theta_i^{i*})^j \mathbf{f}^s (1 - \delta_{is}) - \mathbf{f}^{sT} \Theta_i^{i*} (\mathbf{l}_s^i)^j - \\ &- \mathbf{f}^{sT} (\Theta_i^{i*})^j \mathbf{l}_s^i - (\mathbf{l}_j^{iT})^i \Theta_i^{i*} \mathbf{f}^j - \mathbf{l}_j^{iT} (\Theta_i^{i*})^i \mathbf{f}^j (1 - \delta_{js}) \} \end{aligned} \quad (2.14)$$

Соотношения (2.6), (2.8), (2.14) определяют уравнения динамики механизма в виде

$$A(\mathbf{q}) \dot{\mathbf{q}} + \mathbf{b}(\mathbf{q}, \dot{\mathbf{q}}, \mathbf{f}_g, \mathbf{f}_e) = \mathbf{Q} \quad (2.15)$$

где составляющие матрицы  $A$  определяются равенствами (2.9) и

$$b_i = \sum_{s,j=1}^n d_{sj}^i q_s \dot{q}_j - f_{gi} - f_{ei} \quad (i=1, n)$$

Следовательно, использование в формулах (2.6), (2.7) выражения для эффективной матрицы инерции (2.10) позволяет свернуть выражения для коэффициентов по индексу  $k$  и упростить их вычисление. Рассматривается следующий рекуррентный алгоритм определения коэффициентов уравнения (2.15) – прямой прогонкой от основания к последнему звену вы-

числяются: векторы  $\mathbf{l}_k^i = L_k^{k-1T} \mathbf{l}_{k-1}^i \quad (k=2, n, i=1, k-1)$ , слагаемые  $f_{gi}^k = f_{gi}^{k-1} + l_k^{iT} \mathbf{F}_{gh}^k$ ,  $f_{ei}^k = f_{ei}^{k-1} + l_k^{iT} \mathbf{F}_{eh}^k$ , производные  $(\mathbf{l}_k^i)^j = \langle \mathbf{l}_k^i \rangle^T \mathbf{l}_k^i$  ( $i=1, k-1, j=\overline{i+1, k}, k=\overline{1, n}$ ).

Обратной прогонкой от последнего звена к основанию  $i=\overline{n-1, 1}$  вычисляются: векторы  $\mathbf{g}_i^k = GL_{i+1}^i G \mathbf{g}_{i+1}^k$ , радиус – векторы  $\mathbf{p}_k^i$  центра масс звена  $P_k$  в осях  $E_i$ :  $\mathbf{p}_k^i = C_{i+1}^i \mathbf{p}_k^{i+1} + \mathbf{O}_{i+1}^{ii}$ ,  $\mathbf{p}_i^i = \mathbf{r}_c^{ii}$ , матрицы моментов инерции  $\Theta_i^k$  звена  $P_k$  в осях  $E_i$ :  $\Theta_i^k = m_k (-\langle \mathbf{p}_k^i \rangle \langle \mathbf{O}_{i+1}^i \rangle^i - \langle \mathbf{O}_{i+1}^i \rangle^i \langle \mathbf{p}_k^i \rangle + \langle \mathbf{O}_{i+1}^i \rangle^i \langle \mathbf{O}_{i+1}^i \rangle^i) + C_{i+1}^i \Theta_{i+1}^k C_{i+1}^{iT}$ , эффективные матрицы инерции  $\Theta_i^{k-1*} = \Theta_i^{k-1} + \Theta_i^{k*}$ ,  $\Theta_i^{n*} = \Theta_i^n$ , производные матриц  $\Theta_i^{i*}$ , левые части уравнений (2.15).

При вычислении символов  $d_{sj}^i$  для произвольного набора индексов  $i, j, s=1, n$  в фигурных скобках (2.14) отличны от нуля не более трех слагаемых.

Предполагается, что на манипулятор наложено  $m$  голономных связей.

$$\mathbf{f}(\mathbf{q}, t) = 0 \quad (2.16)$$

где  $\mathbf{f}$  –  $m$ -мерная, непрерывная со своими производными до второго порядка включительно вектор-функция ( $m \leq n$ ).

С учетом (2.16) уравнения движения (2.15) принимают вид

$$A(\mathbf{q})\ddot{\mathbf{q}} + \mathbf{b}(\mathbf{q}, \dot{\mathbf{q}}, \mathbf{f}_l, \mathbf{f}_g) = \mathbf{Q} + \Gamma^T \mathbf{N} \quad (2.17)$$

где  $\mathbf{N}$  – вектор ( $m \times 1$ ) неизвестных реакций связей,  $\Gamma = \partial \mathbf{f} / \partial \mathbf{q}$  – матрица ( $m \times n$ ) частных производных вектор-функции  $\mathbf{f}$  ( $\text{rang } \Gamma = m$ ). Если связи (2.16) определяют положение и ориентацию рабочего органа манипулятора как функцию времени  $\mathbf{f}(\mathbf{q}, t) = \mathbf{r}_n^0(q) - \mathbf{f}_1(t)$ , где  $\mathbf{r}_n^0$  – шестимерный вектор параметров приведения системы координат  $E_0$  к  $E_n$ , то столбцы  $\gamma_i$  матрицы  $\Gamma$  равны  $\gamma_i = \mathbf{l}_n^i$ , а их производные по времени определяются выражениями

$$\dot{\gamma}_i = \sum_{s=i}^n (\mathbf{l}_n^i)^s \dot{q}_s \quad (i=1, n)$$

Для нахождения вектора реакций  $\mathbf{N}$  (2.16) дважды дифференцируется по времени

$$\Gamma \ddot{\mathbf{q}} = -\Gamma^* \dot{\mathbf{q}} - (\partial \mathbf{f} / \partial t) \quad (2.18)$$

Исключением  $\ddot{\mathbf{q}}$  из (2.18) находится выражение

$$\mathbf{N} = -D^{-1} \{ \Gamma A^{-1} (\mathbf{Q} - \mathbf{b}) + \Gamma^* \dot{\mathbf{q}} + (\partial \mathbf{f} / \partial t) \}, \quad D = \Gamma A^{-1} \Gamma^T \quad (2.19)$$

Соотношения (2.17), (2.19) описывают динамику манипулятора с голомонными связями (2.16).

**3. Синтез стабилизирующего управления.** Если равенства (2.16) рассматриваются как уравнения гиперповерхностей, пересечение которых определяет траекторию движения манипулятора, то умножением вектора реакций  $\mathbf{N}$  (2.19) при  $Q=0$  на матрицу  $A P^{-1} \Gamma^T$ , где  $P = \Gamma^T D^{-1} \Gamma$  находится выражение для управления

$$\mathbf{Q}_e = \mathbf{b}(\mathbf{q}, \dot{\mathbf{q}}) - A(\mathbf{q}) \{ \Gamma^+ (\Gamma^* \dot{\mathbf{q}} + (\partial \mathbf{f} / \partial \mathbf{q})) + \Gamma_1 \mathbf{f} + \Gamma_0 \mathbf{f} - (E - \Gamma^+ \Gamma) \mathbf{v} \} \quad (3.1)$$

где  $\Gamma^+ = \Gamma^T (\Gamma \Gamma^T)^{-1}$  – псевдообратная матрица [1] для матрицы  $\Gamma$ ,  $\Gamma_0$ ,  $\Gamma_1$  – матрицы параметров алгоритма управления размерности ( $m \times m$ ),  $v$  – произвольный вектор ( $n \times 1$ ).

Закон управления (3.1) обеспечивает асимптотическую устойчивость движения манипулятора, задаваемого равенствами (2.16), если для любого  $t$  существует хотя бы одно допустимое значение вектора  $\mathbf{q}_p$  при котором выполняется равенство  $\mathbf{f}(\mathbf{q}_p, t) = 0$ . Для доказательства данного утверждения уравнение динамики системы (2.15) с управлением (3.1) преобразуется к виду

$$A \{ (E - \Gamma^+ \Gamma) (\ddot{\mathbf{q}} - \mathbf{v}) + \Gamma^+ (\mathbf{f}'' + \Gamma_1 \mathbf{f} + \Gamma_0 \mathbf{f}) \} = 0 \quad (3.2)$$

Подстановкой в (3.2) значения  $\ddot{\mathbf{q}}$ :

$$\ddot{\mathbf{q}} = -\Gamma^+ (\Gamma^* \dot{\mathbf{q}} + (\partial \mathbf{f} / \partial t)) + \Gamma_1 \mathbf{f} + \Gamma_0 \mathbf{f} + (E - \Gamma^+ \Gamma) \mathbf{v} \quad (3.3)$$

с учетом равенства  $(E - \Gamma^+ \Gamma)^2 = E - \Gamma^+ \Gamma$  находится уравнение

$$A \Gamma^+ (\mathbf{f}'' + \Gamma_1 \mathbf{f} + \Gamma_0 \mathbf{f}) = 0 \quad (3.4)$$

Выбором начальных рассогласований  $\mathbf{f}_0$ ,  $\dot{\mathbf{f}}_0$  достаточно близкими к нулюм обеспечивается выполнение условия  $\text{rang } \Gamma^+ = m$  и (3.4) приводится к равносильной системе

$$\mathbf{f}'' + \Gamma_1 \mathbf{f} + \Gamma_0 \mathbf{f} = 0 \quad (3.5)$$

Из (3.5) следует, что при соответствующем задании матриц  $\Gamma_0$ ,  $\Gamma_1$  составляющие вектора  $\mathbf{f}$  стремятся к нулю, т. е. закон управления (3.1) обеспечивает асимптотическую устойчивость программного движения (2.16).

Если равенства (2.16) задают программное движение в пространстве обобщенных координат манипулятора  $\mathbf{f}(\mathbf{q}, t) = \mathbf{q} - \mathbf{q}_p(t)$ , то выполнено

$\Gamma = \Gamma^+ = E$  и управление (3.1) преобразуется в стабилизирующее управление с обратными связями по  $\mathbf{q}$ ,  $\dot{\mathbf{q}}$  [12].

Отметим, что при  $m < n$  обобщенные ускорения при управлении (3.1) определены с точностью до произвольного вектора  $(E - \Gamma^+ \Gamma) \mathbf{v}$ , который удовлетворяет однопородной системе линейных уравнений (2.18).

В случае  $m > n$ , когда число условий, определяющих движение, больше числа обобщенных координат манипулятора, на обобщенных ускорениях (3.3) достигается точная нижняя грань квадрата нормы невязки системы линейных уравнений (2.18) [11].

**4. Линеаризация уравнений динамики.** При исследовании движения механизма в окрестности заданного положения  $\mathbf{q}_0$  или заданной программной траектории  $\mathbf{q}_p(t)$  используется линеаризованное уравнение динамики. Предполагается, что вектор  $\mathbf{q}_p(t)$  удовлетворяет уравнениям движения (2.17) и связям (2.16). Разложением коэффициентов (2.17) по вектору  $\Delta \mathbf{q} = \mathbf{q} - \mathbf{q}_p$  находятся уравнения

$$A(\mathbf{q}_p) \Delta \ddot{\mathbf{q}} + \frac{\partial \mathbf{b}}{\partial \dot{\mathbf{q}}} \Delta \dot{\mathbf{q}} + \left( \frac{\partial \mathbf{b}}{\partial \mathbf{q}} + \frac{\partial A}{\partial \mathbf{q}} \mathbf{q}_p \right) \Delta \mathbf{q} = \Delta \mathbf{Q} + \Gamma^T \Delta \mathbf{N} \quad (4.1)$$

которые описывают движение механизма в малых отклонениях.

Здесь  $\Delta \mathbf{Q} = \mathbf{Q} - \mathbf{Q}_p$  — вектор  $(1 \times n)$  отклонений управляемых воздействий от программного значения. Коэффициенты уравнений (4.1) определяются равенствами

$$\begin{aligned} \left( \frac{\partial A}{\partial \mathbf{q}} \mathbf{q}_p \right)_{ij} &= \sum_{s=1}^n \{ \mathbf{f}^{iT} (\Theta_i^{i*} \mathbf{l}_i^s)^j + (\mathbf{l}_s^{iT} \Theta_s^{s*})^j \mathbf{f}^s (1 - \delta_{is}) \} q_{ps} \\ \left( \frac{\partial \mathbf{b}}{\partial \dot{\mathbf{q}}} \right)_{ij} &= \frac{1}{2} \sum_{s=1}^n \{ \mathbf{f}^{iT} (\Theta_i^{i*} \mathbf{l}_i^j)^s + (\mathbf{l}_j^{iT} \Theta_j^{j*})^s \mathbf{f}^j - \mathbf{l}_j^{iT} (\Theta_j^{j*})^s \mathbf{f}^j \delta_{ij} + \\ &\quad + \mathbf{f}^{iT} (\Theta_i^{i*} \mathbf{l}_i^s)^j + (\mathbf{l}_s^{iT} \Theta_s^{s*})^j \mathbf{f}^s - \mathbf{l}_s^{iT} (\Theta_s^{s*})^j \mathbf{f}^s \delta_{is} - \\ &\quad - \mathbf{f}^{sT} (\Theta_s^{s*} \mathbf{l}_s^j)^i - (\mathbf{l}_j^{sT} \Theta_j^{j*})^i \mathbf{f}^j + \mathbf{l}_j^{sT} (\Theta_j^{j*})^i \mathbf{f}^j \delta_{js} \} q_{ps} \\ \left( \frac{\partial \mathbf{b}}{\partial \mathbf{q}} \right)_{ij} &= \sum_{s,t=1}^n \{ \mathbf{f}^{iT} (\Theta_i^{i*} \mathbf{l}_i^t)^s j + (\mathbf{l}_t^{iT} \Theta_t^{t*})^s i \mathbf{f}^t - [\mathbf{l}_t^{iT} (\Theta_t^{t*})^s]^j \mathbf{f}^t \delta_{it} - \\ &\quad - \mathbf{f}^{sT} (\Theta_s^{s*} \mathbf{l}_s^t)^i j + \frac{1}{2} [\mathbf{l}_t^{sT} (\Theta_t^{t*})^i]^j \mathbf{f}^t \delta_{ts} \} q_{ps} \dot{q}_{pt} - \sum_{h=i}^n (\mathbf{l}_h^{iT})^j (\mathbf{F}_{gh}^h + \mathbf{F}_{eh}^h) \end{aligned} \quad (4.2)$$

где первая и вторая производные вектора  $\mathbf{l}_h^i$  и матрицы  $\Theta_i^{i*}$  находятся из соотношений (4.16), (4.22), (2.11), (2.13). Наиболее трудоемким при вычислении коэффициентов (4.2) уравнения (4.1) является двойное суммирование с использованием вторых производных вектора  $\mathbf{l}_h^i$  при определении элементов матрицы  $\partial \mathbf{b} / \partial \mathbf{q}$ . Вектор  $\Delta \mathbf{N}$  отклонений реакций связей от программного значения (2.19) определяется подстановкой значения  $\Delta \dot{\mathbf{q}}$  (4.1) в линеаризованное уравнение (2.18).

На основе алгоритмов пп. 1–4 разработан пакет прикладных программ кинематического и динамического анализа многозвездных манипуляторов. Среди решаемых кинематических задач для манипуляторов с заданной кинематической схемой и геометрическими параметрами вычисляется положение и ориентация, скорости и ускорения произвольного сечения механизма в рабочей зоне. Также на основе рекуррентных соотношений п. 3 конструируются уравнения динамики системы, вычисляются инерционные нагрузки на звенья, обратной прогонкой от рабочего органа к основанию определяются статистические и динамические нагрузки в произвольном сечении. Решение задачи динамического силового анализа позволяет на этапе проектирования оценивать необходимое усилие привода, определять усилия в элементах конструкции и точность позиционирования рабочего органа.

## СПИСОК ЛИТЕРАТУРЫ

1. Пол Р. Моделирование, планирование траекторий и управление движением робота-манипулятора. М.: Наука, 1976. 103 с.
2. Walker M. W., Orin D. E. Efficient dynamic computer simulation of robot mechanisms // Trans. ASME. J. Dynamic Systems, Measurement, Control. 1982. V. 104. No. 3. P. 205–211.
3. Vukobratovic M. An efficient procedure for generating dynamic manipulator models // Robotica. 1985. V. 3. No. 3. P. 147–152.
4. Аксельрод Б. В. Описание динамики манипулятора с применением теории винтов // Изв. АН СССР. МТТ. № 2. С. 79–84.
5. Диментберг Ф. М. Теория пространственных шарнирных механизмов. М.: Наука, 1982. 335 с.
6. Коноплев В. А. Конструирование агрегативных моделей механики носителя систем твердых тел // ПММ. 1989. Т. 53. Вып. 1. С. 24–31.
7. Коноплев В. А. Агрегативные модели механики систем твердых тел со структурой дерева // Изв. АН СССР. МТТ. № 6. С. 46–53.
8. Черноусько Ф. Л. Динамика систем с упругими элементами большой жесткости // Изв. АН СССР. МТТ. 1983. № 4. С. 101–113.
9. Заремба А. Т. Динамическая модель плоского упругого манипулятора // Изв. АН СССР. МТТ. 1985. № 5. С. 22–30.
10. Виттенберг Й. Динамика систем твердых тел. М.: Мир, 1980. 292 с.
11. Беклемишев Д. В. Дополнительные главы линейной алгебры. М.: Наука, 1983. 335 с.
12. Динамика управления роботами/Под ред. Е. И. Юревича. М.: Наука, 1984. 334 с.

Ленинград

Поступила в редакцию  
27.VI.1988